

## 2016年12月9日 ソロモン諸島の地震 — 遠地実体波による震源過程解析（暫定）—

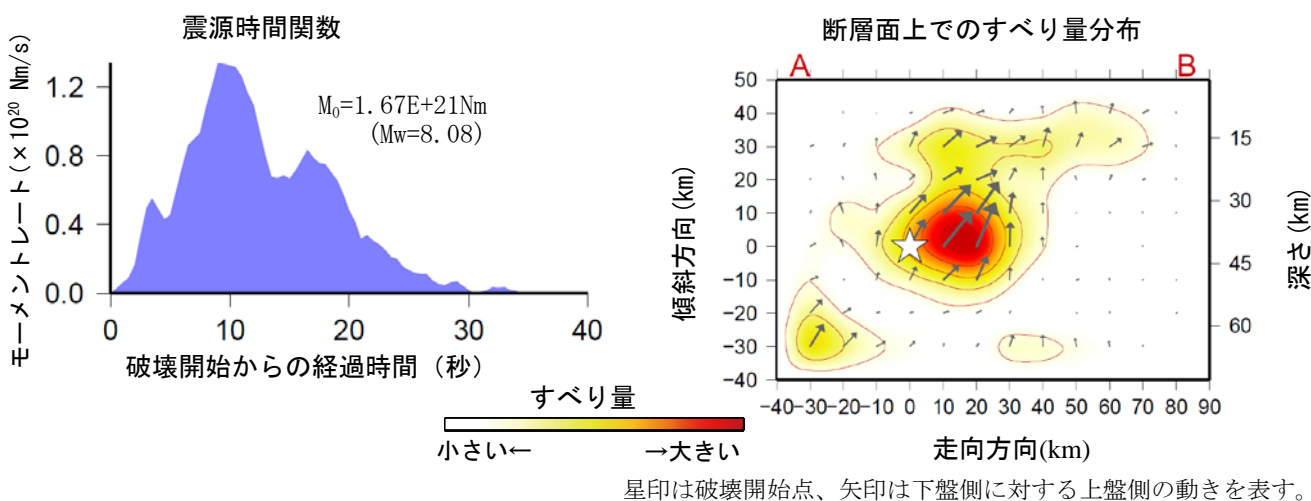
2016年12月9日02時38分（日本時間）にソロモン諸島で発生した地震について、米国大学間地震学研究連合（IRIS）のデータ管理センター（DMC）より広帯域地震波形記録を取得し、遠地実体波を用いた震源過程解析（注1）を行った。

破壊開始点は、米国地質調査所（USGS）による震源の位置 ( $10^{\circ} 40.5' S, 161^{\circ} 19.8' E$ 、深さ 41km)とした。断層面は、気象庁 CMT 解の2枚の節面のうち、北北東傾斜の節面（走向  $289^{\circ}$ 、傾斜  $53^{\circ}$ ）を仮定して解析した。最大破壊伝播速度は  $3.3 \text{ km/s}$  とした。理論波形の計算には CRUST2.0 (Bassin et al., 2000) および IASP91 (Kennett and Engdahl, 1991) の地下構造モデルを用いた。

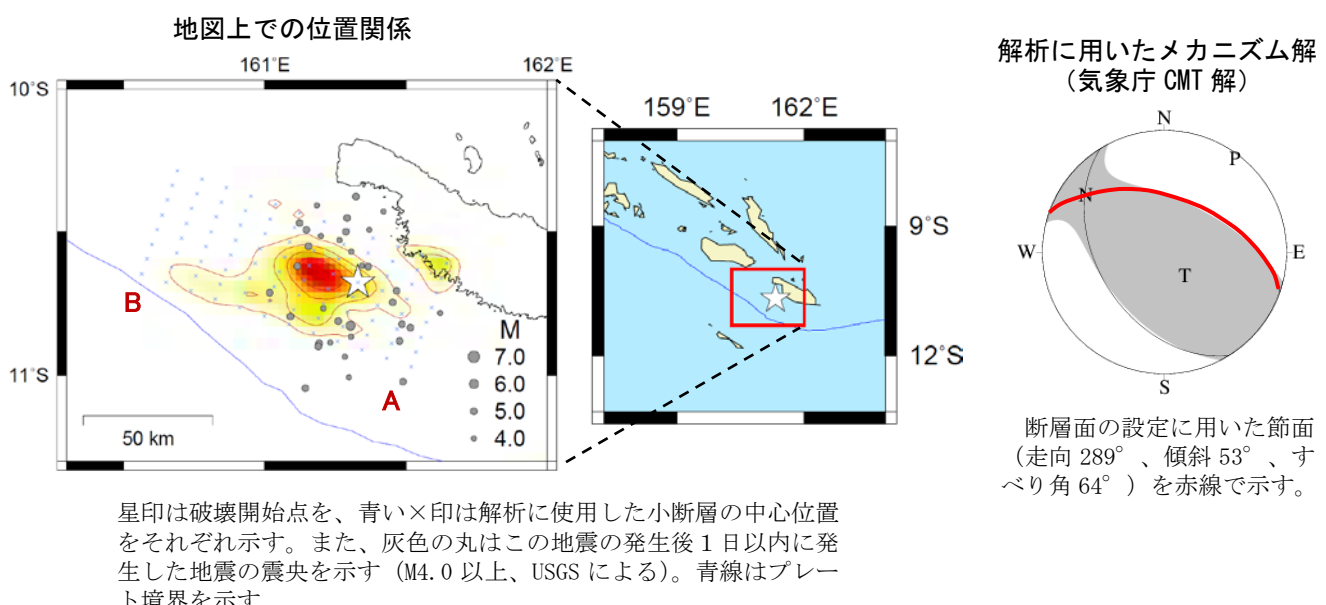
主な結果は以下のとおり（この結果は暫定であり、今後更新することがある）。

- ・主な破壊領域は走向方向に約 100km、傾斜方向に約 60km であった。
- ・主なすべりは破壊開始点から西方向に広がり、最大すべり量は  $10.3 \text{ m}$  であった（周辺の構造から剛性率を  $75 \text{ GPa}$  として計算）。
- ・主な破壊継続時間は約 30 秒であった。
- ・モーメントマグニチュード ( $M_w$ ) は  $8.08$  であった。

結果の見方は、[http://www.data.jma.go.jp/svd/eqev/data/world/about\\_srcproc.html](http://www.data.jma.go.jp/svd/eqev/data/world/about_srcproc.html) を参照。



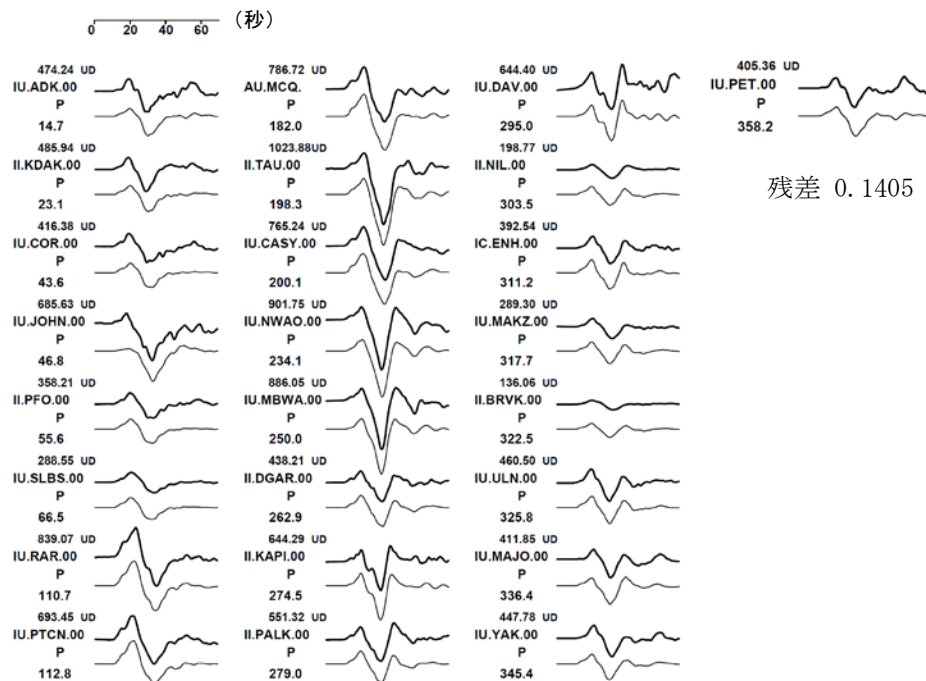
星印は破壊開始点、矢印は下盤側に対する上盤側の動きを表す。



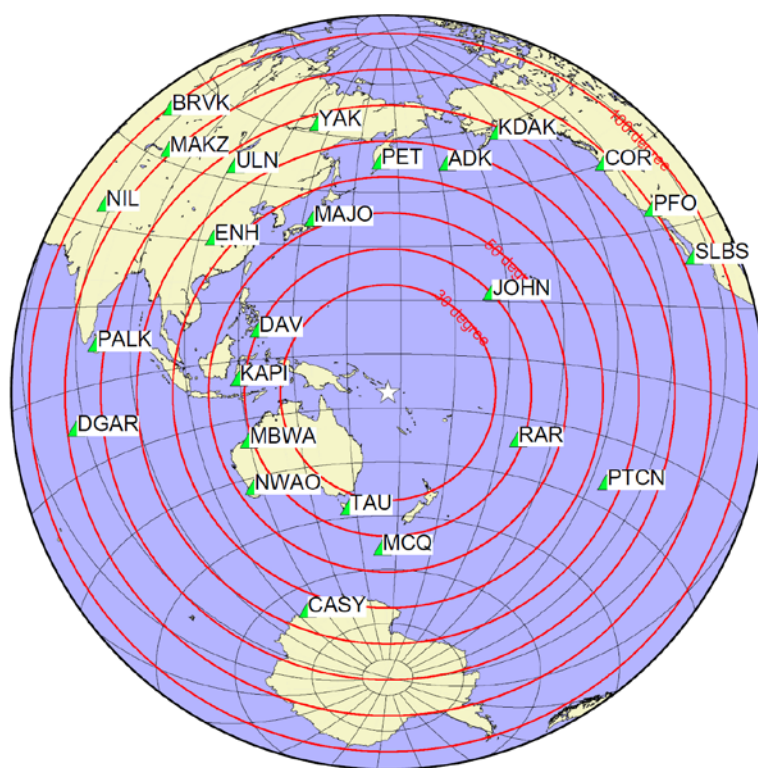
（注1）解析に使用したプログラム

M. Kikuchi and H. Kanamori, Note on Teleseismic Body-Wave Inversion Program,  
<http://www.eri.u-tokyo.ac.jp/ETAL/KIKUCHI/>

## 観測波形（上：0.002Hz–0.5Hz）と理論波形（下）の比較



## 観測点分布



震央距離  $30^\circ \sim 100^\circ$  <sup>※1</sup> の 25 観測点 <sup>※2</sup> (P 波 : 25, SH 波 : 0) を使用。

※ 1 : 近すぎると理論的に扱いづらくなる波の計算があり、逆に遠すぎると、液体である外核を通るため、直達波が到達しない。そのため、評価しやすい距離の波形記録のみを使用。

※ 2 : IRIS-DMC より取得した広帯域地震波形記録を使用。

### 参考文献

- Bassin, C., Laske, G. and Masters, G., 2000, The Current Limits of Resolution for Surface Wave Tomography in North America, EOS Trans AGU, 81, F897.
- Kennett, B. L. N. and E. R. Engdahl, 1991, Traveltimes for global earthquake location and phase identification, Geophys. J. Int., 105, 429–465.